

ІНФОРМАЦІЙНО-ДІАГНОСТИЧНІ СИСТЕМИ

УДК 681.32

А.Я. Білецький, д-р техн. наук, проф.,
О.Г. Кучер, д-р техн. наук, проф.

СИНТЕЗ І ПРОСТОРОВЕ МОДЕЛЮВАННЯ РІВНОМІРНИХ m -Х КОДІВ

Розроблено алгоритми моделювання рівномірних кодів, утворених такими повними послідовностями m -х чисел довжини n , в якій відстань за Хемінгом між будь-якими сусідніми кодовими комбінаціями дорівнює стадії величині R . Розглянуто питання побудови просторових моделей $m/n/R$ -кодів на ПЕОМ.

Вступ і постановка задачі. Дано робота є логічним продовженням дослідження авторів [1], в якій розглянуто алгоритми синтезу і просторового моделювання рівномірних двійкових кодів. Двійкові коди одержали найбільше поширення в сучасній техніці обробки сигналів завдяки тому, що вони вдало гармонізовані з елементами цифрової електроніки. Проте синтез і аналіз m -х кодів стає все більш актуальним як у теоретичному, так і в практичному аспектах. Досить указати, наприклад, на зростаючий інтерес математиків і інженерів-розроблювачів апаратури до m -х кодів у таких додатках, як зв'язок, криптографія та ін. [2; 3].

m -й код потужності N являє собою множину з N m -х слів довжини n , названих кодовими комбінаціями (векторами або словами). Зазвичай $N = m^k$, де k – деяке ціле число. Будемо називати такий код m -м (n, N)-кодом. Розглянемо винятково m -і коди, для яких $N = m^n$, а основа системи числення $m \geq 3$. Введемо визначення повного m -го коду.

Визначення 1. Повним m -м (n, N)-кодом називається така сукупність (множина) m -х кодових комбінацій довжини n , що включає усі без винятку кодові слова, починаючи з коду 00...0 (нульове кодове слово) аж до коду $l...l$ (максимальне кодове слово), де $l = m - 1$.

Нехай x і y – два m -х кодові слова довжини n . Параметр n визначає число розрядів кодової комбінації. Важливою кількісною мірою розходження кодових комбінацій x і y є відстань за Хемінгом між цими кодовими векторами. У двійковому кодовому просторі ($m = 2$) відстанню за Хемінгом називається число позицій (розрядів кодових слів), в яких вектори x і y різні. Уточнимо поняття відстані за Хемінгом для m -х кодових комбінацій довжини n .

Визначення 2. Відстанню за Хемінгом між двома m -ми кодовими словами x і y довжини n називається число, що дорівнює сумі модулів різниці всіх попарних значень розрядів даних векторів.

Цю відстань позначимо через $R(x, y)$ чи просто R . Нехай x_i і y_i , $i = \overline{0, n-1}$, – значення i -х розрядів кодових векторів x і y (старший ($n-1$)-й розряд ліворуч). Маємо

$$R = \sum_{i=0}^{n-1} r_i,$$

де $r_i = |x_i - y_i|$.

Наприклад, візьмемо трійкові числа $x = 201120$ і $y = 012102$, тоді $R = 8$.

Повна сукупність m -х (n, N)-кодових комбінацій може бути упорядкована різними способами. Через $\{x\}$ позначимо деяку послідовність кодових слів x_i , $i = \overline{0, N-1}$. Положення нульового кодового слова зафіксуємо, вважаючи

$$x_0 = \underbrace{00\dots0}_{n \text{ разів}}. \quad (1)$$

Очевидно, що існує усього $L = (m^n - 1)!$ різних способів упорядкування (перестановок) елементів (векторів) повного m -го (n, N) -коду. З множини L перестановок виділимо підмножину потужності M так званих рівномірних m -х (n, N) -кодів з відстанню за Хемінгом між сусідніми кодовими комбінаціями, що дорівнює R .

Визначення 3. Рівномірним m -м кодом R -го порядку називається така повна послідовність m -х кодових комбінацій довжини n , в якій відстань за Хемінгом між будь-якими двома сусідніми кодовими словами є сталою величиною, що дорівнює R .

Рівномірні m -і (n, N) -коди з кодовою відстанню R позначимо через $m/n/R$ -коди. Параметри m , n і R визначені. Рівномірний код будемо називати замкнутим, якщо відстань за Хемінгом між крайніми кодовими комбінаціями в послідовності $\{x\}$ складає R , тобто

$$R(x_0, x_{N-1}) = R.$$

Якщо дана рівність не дотримується, то такі рівномірні $m/n/R$ -коди будемо відносити до класу незамкнутих (відкритих).

Основна задача даного дослідження полягає в розробці алгоритмів побудови просторового образа повного графа рівномірних m -х (n, N) -кодів з відстанню R , які відображають усю сукупність вузлів (кодових комбінацій) і з'єднують їх ребер.

Загальні співвідношення. Введемо деякі допоміжні визначення. Величину

$$q_x = \sum_{i=0}^{n-1} x_i,$$

що дорівнює сумі цифр усіх розрядів m -ї кодової комбінації x , назовемо вагою коду x . Наприклад, для чотвіркового шестирозрядного вектора $x = 132003$ його вага дорівнює дев'яти ($q_x = 9$).

Визначення 4. Підмножина всіх m -х кодових векторів довжини n , вага кожної кодової комбінації якого є сталою величиною, що дорівнює q , називається шаром q щільності або $[n, q]$ -шаром.

У позначенні $[n, q]$ -шару використані прямі дужки для того, щоб не перепутати його з уведеним раніше позначенням m -го (n, N) -коду.

Очевидно, q може приймати значення від 0 (вага нульового кодового шару) до $(m-1)n$ (вага максимального n -розрядного m -го числа), тобто усього може бути утворено $s = mn - n + 1$ шарів.

Величину N_q , $q = 0, s$, що дорівнює числу вузлів (m -х кодових слів, векторів, комбінацій) у шарі щільності q , назовемо вагою шару. Очевидно, шари з щільністю $q = 0$ і $q = s$ містять по одному вузлу, а

$$\sum_{q=0}^s N_q = m^n.$$

Сформулюємо ряд простих, але досить конструктивних положень.

Твердження 1. Кодова відстань за Хемінгом між будь-якими елементами всередині шару щільності $q = 1, s - 1$ є парним числом.

Твердження 2. Нехай $[n, q_1]$ і $[n, q_2]$ – два m -х $[n, q]$ -шари, а $|q_1 - q_2| = l$. Тоді кодова відстань R за Хемінгом між будь-якими двома елементами, що належать шарам з різною щільністю, є парним числом, якщо l парно і, навпаки, R – непарно, якщо непарно l .

Доведення тверджень 1 і 2 можна провести безпосередньою перевіркою.

Твердження 3. Для будь-якого повного m -го (n, N) -коду не існує рівномірних кодів з парним значенням відстані за Хемінгом.

Доведення твердження 3 проведемо для приватних значень $m = 3$ і $R = 2$. Припустимо, що на перших двох етапах синтезу рівномірного $3/n/2$ -коду обрані такі два варіанти кодових комбінацій:

| Варіант 1 | Варіант 2 | |
|-------------|-------------|-----|
| 1 : 0...000 | 1 : 0...000 | (1) |
| 2 : 0...011 | 2 : 0...002 | |

У системі (1) цифри i , що стоять ліворуч від двокрапки, по-перше, означають номер етапу синтезу i , по-друге, визначають значення індексу j кодового вектора \mathbf{x} , за правилом:

$$(i): \rightarrow \mathbf{x}_{i-1},$$

тобто у даному випадку індекс $j = i - 1$.

Отже, відповідно до системи послідовних кроків (1) формування рівномірного $3/n/2$ -коду на першому (стартовому) етапі синтезу вибирається нульове кодове слово довжини n , тобто $\mathbf{x}_0 = 0...00$, що погоджується з прийнятою раніше схемою добору кодових комбінацій. Кодове слово \mathbf{x}_1 , яке відповідає другому етапу синтезу, являє собою трійкову кодову комбінацію довжини n , у двох молодших розрядах якої стоять одиниці (перший варіант), а в інших розрядах – нулі. У другому варіанті синтезу значення молодшого розряду дорівнює двом, а в інших розрядах – нулю.

Розглянемо можливі кодові комбінації, обрані на третьому етапі синтезу:

| Варіант 1 | Варіант 2 | |
|-------------------|-------------------|--|
| $3^I:0..101;$ | $3^I:0..112;$ | |
| $3^{II}:0..110;$ | $3^{II}:0..011;$ | |
| $3^{III}:0..112;$ | $3^{III}:0..101.$ | |
| $3^{IV}:0..121;$ | | |
| $3^V:0..002;$ | | |
| $3^{VI}:0..020;$ | | |
| $3^{VII}:0..022.$ | | |

З аналізу системи (2) приходимо до такого висновку. Альтернативні кодові комбінації, що утворюють вектор \mathbf{x}_2 , є кодовими словами з парною вагою (два або чотири). На четвертому і наступному етапах синтезу одержимо аналогічний результат: кодові комбінації \mathbf{x}_i , $i \geq 3$ відносяться до підмножини кодових слів з парною вагою. Потужність N_2 множини m -х кодових векторів з парною вагою природно менше потужності N повної множини (n, N) -кодів. Тим самим твердження 3 можна вважати доведеним, оскільки повний m -й код включає усі N комбінації (n, N) -коду.

Твердження 4. Відстань R за Хемінгом між будь-якими двома сусідніми векторами рівномірного m -го (n, N) -коду є непарним числом і задовільняє співвідношення

$$R \leq (s-1),$$

де s – вага максимального коду.

Доведення твердження 4 аналогічне доведенню твердження 1 для двійкових (n, N) -кодів [1].

Твердження 5. Якщо основа системи числення m є непарним числом, то із сукупності m -х (n, N) -кодів можуть бути утворені тільки повні відкриті рівномірні $m/n/R$ -коди. Якщо m – парне число, то (n, N) -кодам відповідають як відкриті, так і замкнуті рівномірні $m/n/R$ -коди.

Доведення твердження 5 ґрунтуються на таких положеннях. Відповідно до твердження 4 рівномірними m -ми кодами можуть бути тільки такі $m/n/R$ -коди, для яких R є непарним числом, тобто при $R = 1, 3, \dots, s - 1$. Стартовим у будь-якому рівномірному коді прийнято нульовий код x_0 довжини n (див. формулу (1)). Наступним кодом x_1 може бути код, вага якого є непарним числом R . Черговий вектор x_2 може належати тільки кодовим векторам з парною вагою, що є наслідком твердження 2, і т.д. Таким чином, у рівномірних $m/n/R$ -кодах непарним етапам синтезу відповідають коди з парними вагами і навпаки. Нехай m є непарне число. Непарним буде також повне число $N = m^n$ (n, N) -кодів. Отже, вага кодової комбінації x_{N-1} , що відповідає останньому непарному етапу синтезу, буде парним числом. Парним виявляється також кодова відстань R між векторами x_0 і x_{N-1} , що неприпустимо для замкнутого рівномірного коду. Тому синтезований рівномірний код при непарному m може відноситися тільки до класу відкритих рівномірних кодів. Якщо m – парне число, то кодова комбінація x_{N-1} буде непарним числом. Нехай вага вектора x_{N-1} дорівнює V . Тоді, якщо $V = R$, то синтезований рівномірний $m/n/R$ -код буде замкнутим, у протилежному випадку – відкритим. Цим завершується доведення твердження 5.

В основу синтезу рівномірних $m/n/R$ -кодів покладено розроблений у роботі [1] метод шару рівної щільноти, основна ідея якого полягає в наступному. Приймемо як геометричний об'єкт при розробці просторової моделі рівномірного $m/n/R$ -коду кулю. Для зручності викладу там, де це доцільне, будемо використовувати географічні поняття і терміни, які характерні для такого просторового об'єкта як земна куля, вважаючи його ідеальним, тобто таким, усі точки зовнішньої поверхні якого рівновіддалені від центра кулі. Умовимося розміщати нульовий код x_0 і протилежний йому код x_{N-1} на північному і південному полюсах кулі відповідно. Залишені вузли $[n, q]$ -шарів ($q = 1, s - 1$) будемо розміщати на паралелях, симетричних щодо полюсів. Тут мається на увазі, що кожному $[n, q]$ -шару відповідає своя паралель. Отже, усі вузли повного графа просторової моделі рівномірного коду знаходяться на поверхні кулі.

Визначення 5. Дві m -і кодові комбінації x і y довжини n називаються протилежними, якщо i -й розряд ($i = 0, n - 1$) кодового слова $y(x)$ є доповненням до $m - 1$ відповідного розряду кодового слова $x(y)$, тобто $y_i = (m - 1) - x_i$, так само як i $x_i = (m - 1) - y_i$, де x_i (y_i) – значення (вага) i -го розряду вектора $y(x)$.

Наприклад, візьмемо п'ятковий код $x = 30142$, тоді протилежний код $y = 14302$.

Задача синтезу (розробки) просторової моделі (графа) рівномірного $m/n/R$ -коду зводиться до раціонального розміщення на відповідних паралелях кулі вузлів $[n, q]$ -шарів, $q = 1, s - 1$ і встановленню відносин інцидентності для усіх вузлів графа.

Моделі рівномірних кодів з непарною основою системи числення. Якщо m – непарне число, то відповідно до твердження 5 можуть бути синтезовані тільки відкриті рівномірні $m/n/R$ -коди. Надалі обмежимося побудовою моделей рівномірних кодів, вважаючи $m = 3$.

Модель трійкового рівномірного коду з одиничною відстанню за Хемінгом і кодовими комбінаціями довжини 2 показано на рис. 1.

У вузлах графа, наведеного на рис. 1, зазначено числові значення кодових комбінацій. Цифри, що стоять ліворуч від графа, відповідають щільності шару, а праворуч кількості вузлів у шарі.

Як випливає з рис. 1, не можна побудувати таку послідовність трійкових дворозрядних чисел, що призводила б до повного замкнутого рівномірного 3/2/1-коду. У той же час можна привести кілька варіантів (табл. 1) відкритих рівномірних 3/2/1-кодів.

Табл. 1 не вичерпує список усіх варіантів побудови відкритих рівномірних 3/2/1-кодів.

На рис. 2 відображені планарну модель рівномірних 3/3/1-кодів.

Як видно із зіставлення рис. 1 і 2, збільшення розрядності трійкових чисел із двох до трьох значимо ускладнило зображення повного графа рівномірних кодів. Крім того існує кілька варіантів конфігурації графа і зовсім не просто вирішується задача вибору оптимальної форми графа.

Найбільш зручною, компактною і виразною формою зображення просторових моделей рівномірних кодів є проекції вузлів і ребер $[n, q]$ -шарів на площину екватора.

Так, на рис. 3 наведено проекції перших чотирьох шарів моделі 3/3/1-коду. Проекції, показані на рис. 3, пред'являються спостерігачу, що знаходиться з боку вузла 000 на осі, що проходить через полярні вершини 000 і 222 повного графа моделі.

Обране правило розміщення проекцій вузлів першого шару ($q = 1$) однозначно визначає положення проекцій вузлів всіх інших q -шарів просторової моделі рівномірного $m/n/R$ -коду. Вузли першого шару 3/3/1-коду розташуюмо в порядку проходження ступеня 2 симетрично (тобто під кутом 120° по відношенню один до одного) на окружності, що є проекцією 60-ї паралелі північної півкулі. Саме на цій паралелі знаходяться вузли шару із щільністю $q = 1$ (тобто вузли [3, 1]-шару).

На перетині прямої, що проходить через центр проекції (північна полярна вершина 000) і вузли [3, 1]-шару, з окружністю, що є проекцією 30-ї паралелі північної півкулі, розмістимо перші три вузли шару із щільністю $q = 2$. Тим самим визначиться місце розташування вузлів 002, 020 і 200, що знаходяться на кодовій відстані $R = 1$ від відповідних вузлів [3, 1]-шару. Інші вузли [3, 2]-шару (а це вузли 011, 101 і 110) розставимо симетрично на окружності так, щоб вони були і геометрично, і за Хемінгом рівновіддалені від вузлів [3, 1]-шару.

Проекції всіх семи вузлів шару із щільністю $q = 3$ знаходяться на окружності, що є екватором кулі. Правило розміщення проекцій вузлів [3, 3]-шару подібно правилу розміщення вузлів [3, 2]-шару за винятком особливого вузла 111, який можна розмістити в центрі кулі.

Отже, отримане наочне зображення усіх вузлів і ребер північної півкулі просторової моделі рівномірного 3/3/1-коду. Положення вузлів південної півкулі (вузлів q -шарів для $q = 4, 5, 6$) установлюється за правилом: «протилежний код – на протилежну сторону кулі». Зміст даного правила пояснюється на рис. 4.

Як приклад на рис. 4 показано процедуру визначення розташування вузлів, протилежних вузлам 101, 010 і 020, що лежать (див. рис. 3) на одному меридіані. Отже, вузли південної півкулі розміщуються в точці перетину прямої, що проходить через відповідний вузол північної півкулі і центр кулі, з південною поверхнею кулі.

Зберігаючи незмінними положення вузлів, що знаходяться на екваторі, на підставі сформульованого правила приходимо до проекцій вузлів і ребер південної півкулі наведених на рис. 5.

На підставі проекцій, показаних на рис. 3 і 5, можна легко побудувати повну модель рівномірного 3/3/1-коду.

Розроблену методику синтезу і конструктування просторових моделей може бути продовжено і на вищі порядки параметрів m , n і R рівномірних кодів. Природно, що зі зростанням значень параметрів не тільки ускладнюються самі моделі, але і послаблюється наочність їхнього зображення.

Моделі рівномірних кодів з парною основою системи числення. Першим розглянемо рівномірний 4/2/1-код, тобто код, складений з повної сукупності дворозрядних четвіркових чисел з одиничною відстанню за Хемінгом між будь-якими сусідніми кодовими комбінаціями.

Просторова модель рівномірних кодів типу 4/2/1 містить сім q -шарів, а її граф зображено на рис. 6.

Існує кілька варіантів побудови замкнутих рівномірних дворозрядних четвіркових кодів з одиничною кодовою відстанню. Маршрут формування одного з них, починаючи з вузла 00, зафіксований на рис. 6 стрілками. Інші варіанти кодів наведені в табл. 2.

Далі розглянемо алгоритм побудови просторової моделі рівномірних 4/3/1-кодів. Така просторова модель складається з 10 шарів. Склад вузлів, що входять у шари моделі, наведено у табл. 3.

Таблиця 1

| | 1 | 2 | 3 | 4 | 5 | 6 |
|----|----|----|----|----|----|----|
| 00 | 00 | 00 | 00 | 00 | 00 | 00 |
| 01 | 10 | 01 | 10 | 01 | 10 | 10 |
| 02 | 20 | 02 | 20 | 11 | 11 | 11 |
| 12 | 21 | 12 | 21 | 10 | 01 | 01 |
| 22 | 22 | 11 | 11 | 20 | 02 | 02 |
| 21 | 12 | 10 | 01 | 21 | 12 | 12 |
| 20 | 02 | 20 | 02 | 22 | 22 | 22 |
| 10 | 01 | 21 | 12 | 12 | 12 | 21 |
| 11 | 11 | 22 | 22 | 02 | 02 | 20 |

Рис. 1. Повний граф рівномірного 3/2/1-коду

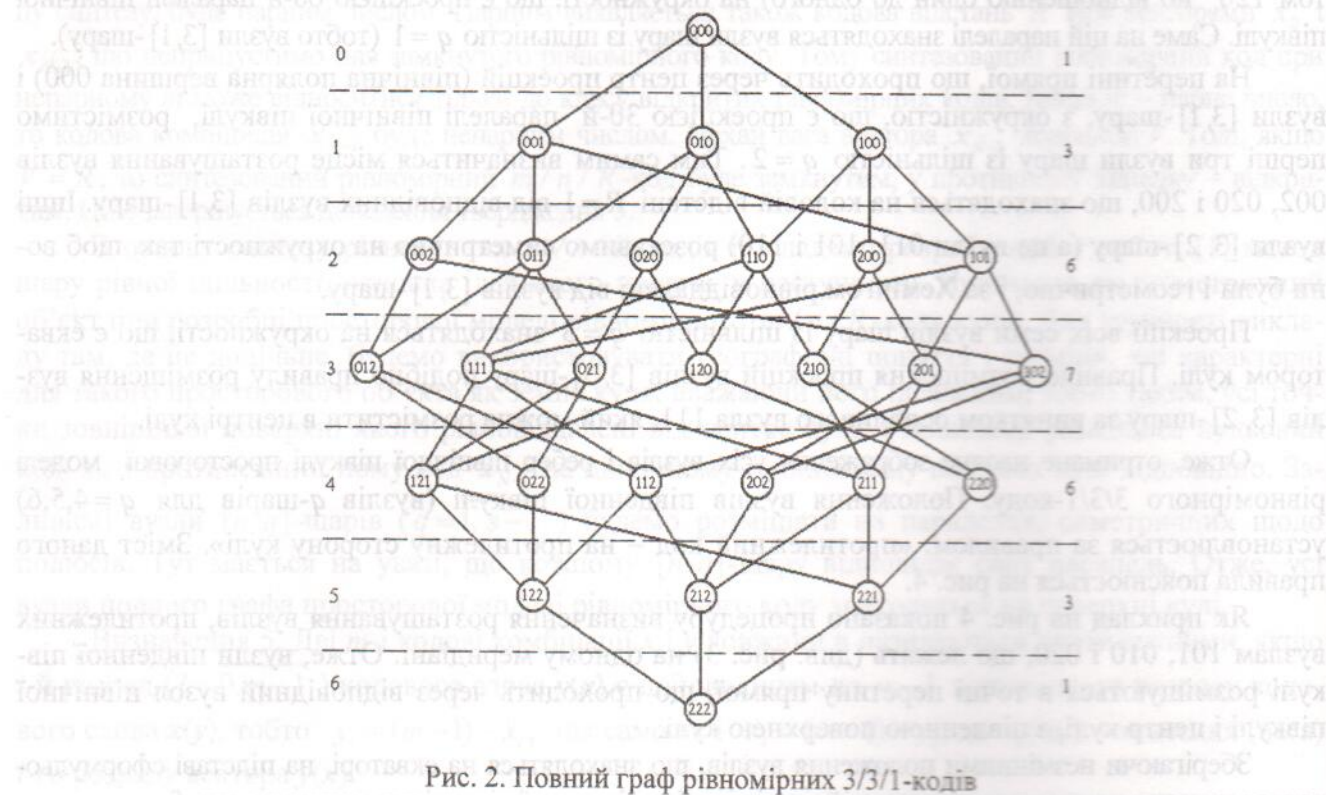


Рис. 2. Повний граф рівномірних 3/3/1-кодів

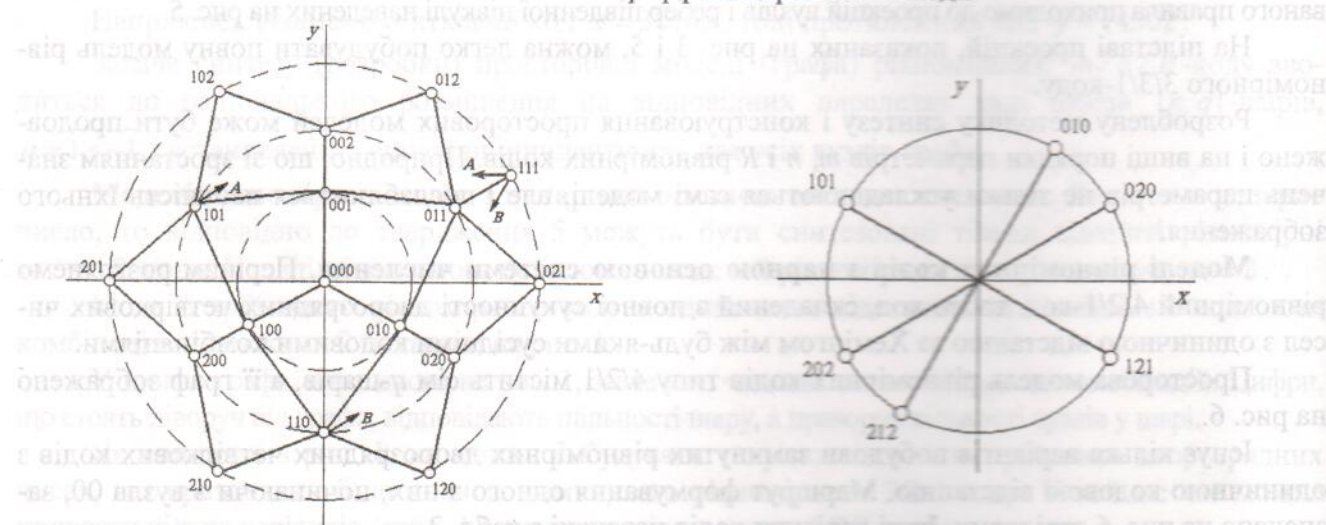
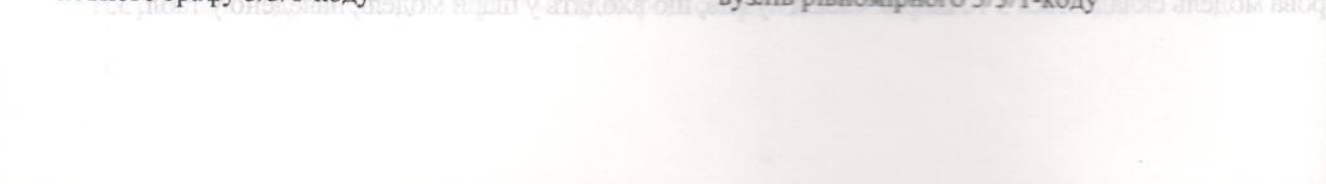


Рис. 3. Проекції вузлів і ребер шарів 0–3 повного графу 3/3/1-коду

Рис. 4. Визначення положення протилежних вузлів рівномірного 3/3/1-коду



Таблиця 2

| Четвірковий код | Варіанти рівномірних 4/2/1-кодів | | | | | | |
|--------------------|----------------------------------|----|----|----|----|----|----|
| | 1 | 2 | 3 | 4 | 5 | 6 | 7 |
| 00 | 00 | 00 | 00 | 00 | 00 | 00 | 00 |
| 01 | 01 | 01 | 01 | 10 | 10 | 10 | 10 |
| 02 | 02 | 11 | 11 | 20 | 11 | 11 | 20 |
| 03 | 03 | 12 | 21 | 30 | 21 | 12 | 30 |
| 10 | 13 | 02 | 22 | 31 | 20 | 22 | 31 |
| 11 | 12 | 03 | 12 | 21 | 30 | 21 | 21 |
| 12 | 22 | 13 | 02 | 11 | 31 | 20 | 22 |
| 13 | 23 | 23 | 03 | 12 | 32 | 30 | 32 |
| 20 | 33 | 33 | 13 | 22 | 33 | 31 | 33 |
| 21 | 32 | 32 | 23 | 32 | 23 | 32 | 23 |
| 22 | 31 | 22 | 33 | 33 | 22 | 33 | 13 |
| 23 | 30 | 21 | 32 | 23 | 12 | 23 | 03 |
| 30 | 20 | 31 | 21 | 13 | 13 | 13 | 02 |
| 31 | 21 | 30 | 30 | 03 | 03 | 03 | 12 |
| 32 | 21 | 20 | 20 | 02 | 02 | 02 | 11 |
| 33 | 10 | 10 | 10 | 01 | 01 | 01 | 01 |

Таблиця 3

| Номер q -шару | Кількість вузлів у q -шарі | Кодові комбінації шару |
|-----------------|------------------------------|---|
| 0 | 1 | 000 |
| 1 | 3 | 001, 010, 100 |
| 2 | 6 | 002, 020, 200, 011, 101, 110 |
| 3 | 10 | 003, 030, 300, 012, 021, 102, 201, 120, 210, 111 |
| 4 | 12 | 013, 022, 031, 103, 112, 121, 130, 202, 212, 220, 301, 310 |
| 5 | 12 | 023, 032, 113, 122, 131, 212, 221, 230, 302, 311, 320, 203 |
| 6 | 10 | 033, 123, 132, 213, 222, 231, 303, 312, 321, 330 |
| 7 | 6 | 133, 313, 331, 223, 232, 322 |
| 8 | 3 | 233, 323, 332 |
| 9 | 1 | 333 |

Проекції вузлів і ребер перших чотирьох шарів просторової моделі показано на рис. 7.

Звернемо увагу на строгу симетричність графа, зображеного на рис. 7, щодо осі абсцис.

Взаємозв'язок вузлів, що входять у третій і четвертий шари моделі, показано на рис. 8. При цьому розташування вузлів третього шару збережено таким же, як і на рис. 7.

Вузли південної півкулі моделі розташовані на протилежному боці поверхні кулі в точці перетину цієї поверхні і прямої, що проходить через вузол північної півкулі і центр кулі. Значення коду (вузла) у південній півкулі утворюється як результат доповнення до трьох кожного розряду відповідного коду північної півкулі. Граф взаємозв'язку вузлів південної півкулі наведено на рис. 9 (формується так званий протилежний код).

Для завершення процедури побудови просторової моделі рівномірного 4/3/1-коду необхідно вказати характер зв'язку вузлів четвертого і п'ятого шарів (рис. 10).

Як і проекції вузлів і ребер просторової моделі рівномірного 4/3/1-коду, зображені на рис. 7–9, граф взаємозв'язку вузлів, показаний на рис. 10, симетричний щодо осі абсцис.

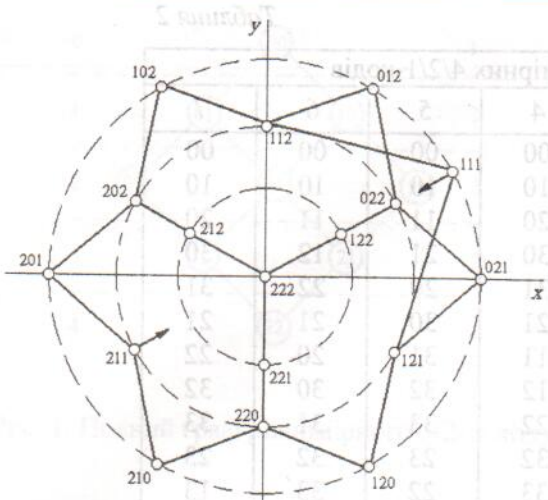


Рис. 5. Проекції вузлів і ребер шарів 3–6 повного графу 3/3/1-коду

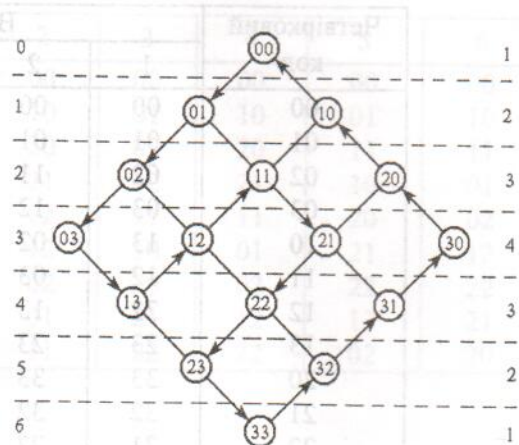


Рис. 6. Повний граф рівномірних 4/2/1-кодів

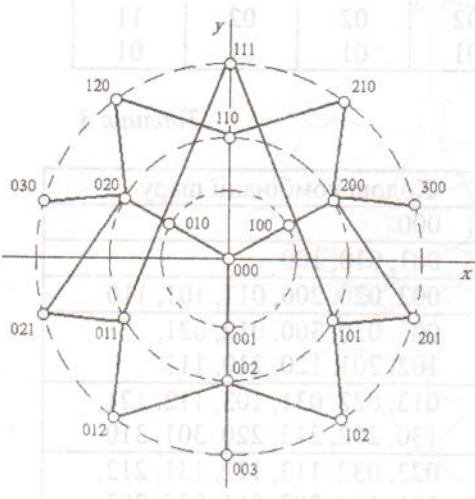


Рис. 7. Проекції вузлів і ребер шарів 0-3 просторової моделі рівномірного 4/3/1-коду

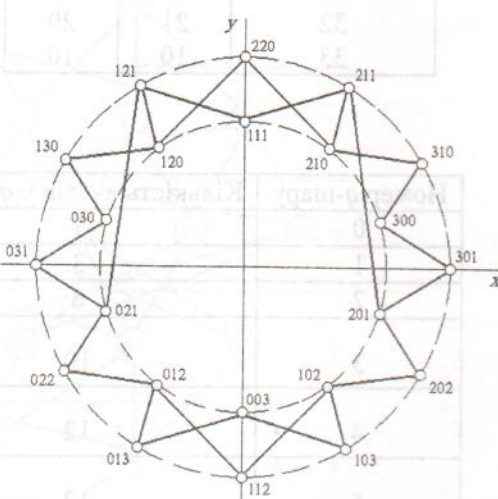


Рис. 8. Проекції вузлів і ребер третього і четвертого шару просторової моделі рівномірного 4/3/1-коду

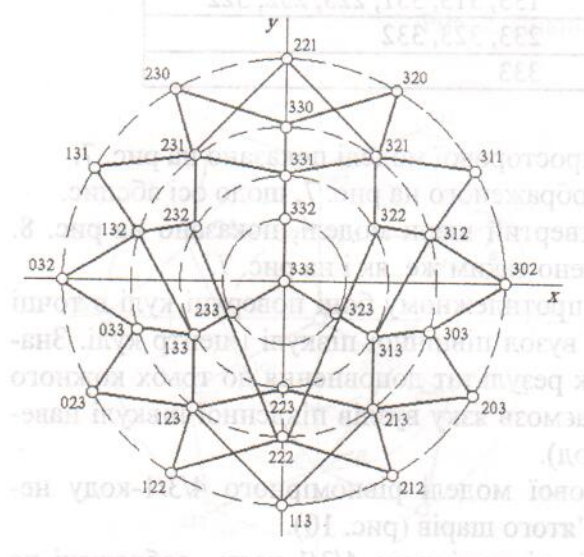


Рис. 9. Повний граф взаємозв'язку вузлів південної півкулі рівномірного 4/3/1-коду

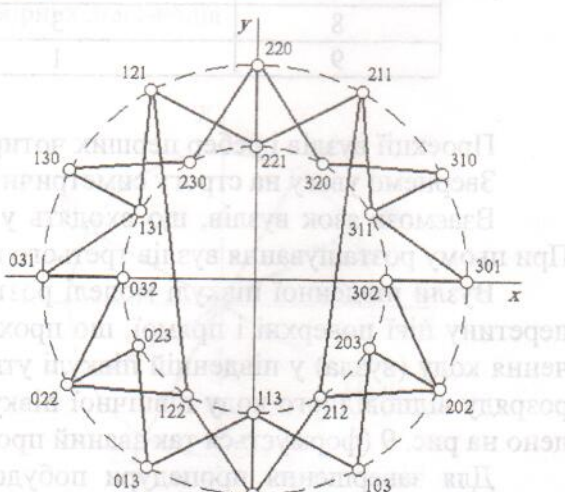


Рис. 10. Граф взаємозв'язку четвертого і п'ятого шарів рівномірного 4/3/1-коду

Висновок. Клас рівномірних кодів можна вважати розширенням кодів Грэя [4], відмінна риса яких полягає в тому, що в послідовності n -роздрядних двійкових чисел відстань за Хемінгом між сусідніми кодовими комбінаціями дорівнює одиниці. Отже, коди Грэя є частковим випадком замкнутих рівномірних $m/n/1$ -кодів з парною основою системи числення m , оскільки непарні системи замкнутих рівномірних кодів не утворюють.

Розроблений алгоритм побудови просторових моделей рівномірних кодів, в основу якого покладений так званий метод шарів рівної щільноти, найбільш повно проілюстрований прикладами кодів з одиничною відстанню за Хемінгом. З рівним успіхом такий метод може бути використаний при розробці моделей рівномірних кодів, у яких R , залишаючись непарним числом, перевищує одиницю.

Поза рамками роботи залишилася задача оцінки числа замкнутих і відкритих рівномірних m -х кодів для різних значень довжини кодових комбінацій n і відстані за Хемінгом R .

Список літератури

1. Білецький А.Я., Кучер О.Г. Синтез і просторове моделювання рівномірних двійкових кодів // Вісн. НАУ. – 2002. – № 2. – С. 18–26.
2. Берлекэмп Э. Алгебраическая теория кодирования. – М.: Мир, 1971. – 450 с.
3. Блейхут Р. Теория и практика кодов, контролирующих ошибки: Пер. с англ. – М.: Мир, 1986. – 576 с.
4. Білецький А.Я., Білецький О.А. Синтез кодів Грэя // Вісн. НАУ. – 2002. – № 1. – С. 29–34.

Стаття надійшла до редакції 17.06.02.

УДК 681.5:519.242/248

ББК В 141 + Ж14-5-021,1 8631,8

Ю.О. Єгоршин, канд. техн. наук, доц.,
О.Ю. Красноусова, асп.

НОВІ ТЕОРЕМИ ПРО ЙМОВІРНОСТІ ВІДМОВ ДЛЯ СЕРІЇ НЕЗАЛЕЖНИХ ВИПРОБУВАНЬ

Доведено теореми про ймовірності появи менш, ніж трьох відмов для серії випробувань у двох неоднакових умовах, яким відповідають різні ймовірності відмов для кожного випробування.

У теорії ймовірностей і математичній статистиці ймовірність появи числа K відмов у серії з N незалежних випробувань визначаються формулою біноміального розподілу (схема Бернуллі), якщо ймовірність відмови $q = \text{const}$ для кожного випробування, або формулою схеми Пуассона, якщо ймовірність q_i неоднакова для кожного i -випробування.

Схема Бернуллі дозволяє здійснити експериментальну перевірку гіпотези про ймовірність типу $W = 1 - q \geq W_T$, якщо відомі значення N, K , а умови випробувань є однорідними ($q=\text{const}$) [1].

Схема Пуассона вимагає апріорного знання всіх значень q_i , тому вона не використовується для експериментальної перевірки ймовірності.

Для окремого випадку – пуссонівських розподілів відмов для будь-яких умов випробувань – пуссонівська схема вироджується в біноміальну схему. Це дозволяє за сумарними числами K і N для пропорційної вибірки визначити нижчу межу W_T повної ймовірності відмов W_n і перевірити гіпотезу $W_n > W_T$ за даними K, N [2].

З урахуванням близькості біноміального і пуссонівського розподілів є сенс визначити деякі корисні закономірності для ймовірностей появи числа K відмов у серії незалежних випробувань, якщо відбуваються різні j -умови випробувань і різні значення $q_j = \text{const}, j = 1, 2, \dots, r$ (мається на увазі суміш біноміальних розподілів).